

# بهینه‌سازی خواص آنتی اکسیدانی ژلاتین آبکافت پوست گربه ماهی دریایی (*Arius thalassinus*) با استفاده از روش سطح پاسخ

علی طاهری<sup>۱\*</sup>، وحیده مختارنژاد<sup>۲</sup>، علی معتمدزادگان<sup>۳</sup>

پوست خوک اولین ماده خام مورد استفاده برای تولید ژلاتین در سال ۱۹۳۰ بود و همچنان به عنوان مهم‌ترین ماده برای تولیدات صنعتی به کار می‌رود، با این حال شیوع بیماری جنون گاوی و منعویت استفاده از کلاژن خوک در بعضی مناطق بنا به دلایل مذهبی، لازم است تا یک منبع جایگزین ایمن‌تر جستجو گردد<sup>(۸)</sup>. از سوی دیگر اکسیداسیون چربی در محصولات غذایی، کیفیت را کاهش می‌دهد و سبب کاهش ماندگاری می‌شود، بعلاوه مصرف ترکیبات اکسیداتیو باعث بیماری‌های جدی می‌شود<sup>(۴)</sup>. گونه‌های اکسیژن فعال Reactive oxygen species (ROS) و رادیکال‌های آزاد که از طریق واکنش‌های طبیعی بدن طی تنفس در موجودات هوایی تولید می‌شوند در شرایط عادی، به شکل موثر توسط سیستم دفاعی آنتی اکسیدانی مانند آنزیم‌های آنتی اکسیدانی و عوامل غیرآنزیمی حذف می‌شوند تغییر در تعادل بین تولید و تخریب ROS منجر به تولید بیش از حد و یا کاهش سم زدایی می‌شود که با بیماری‌های مزمن از قبیل بیماری قلبی، دیابت و سرطان مرتبط است<sup>(۱۶)</sup>.

آنتی اکسیدان‌ها می‌توانند بدن انسان را از رادیکال‌های آزاد و اثرات آن محافظت کنند و پراکسیداسیون لیپید را به تعویق اندازند. آنتی اکسیدان‌های مصنوعی مثل Butylated (BHT) یا BHA (Butylated hydroxyl anisole)، hydroxy toluene-N-بروپیل گالات فعالیت آنتی اکسیدانی قوی را نشان می‌دهند، اما استفاده از آنها به دلیل خطرات بالقوه سلامتی به شدت

## چکیده

رادیکال‌های آزاد در ایجاد بیماری‌های مختلف نقش مهمی دارد، بعلاوه اکسیداسیون باعث کاهش کیفیت غذایی و مصرف آن سبب بیماری می‌شود. آنتی اکسیدان‌های مصنوعی خطرات بالقوه سلامتی را به دنبال دارند، بنابراین شناسایی آنتی اکسیدان طبیعی ضروری است. هدف این پژوهش، بررسی و بهینه‌سازی شرایط تولید ژلاتین آبکافت با خواص آنتی اکسیدانی است.

ژلاتین از پوست گربه ماهی با کاربرد هیدرولکسیلایسیدم، اسید سولفوریک و اسید سیتریک و شستشو بعد از هر تیمار و در نهایت در ۳°C حجم آب مقرر در دمای ۴۵°C به مدت ۱۲ ساعت در شیکر انکوباتور استخراج و تحت شرایط مختلف دمایی، غلظت آنزیم و زمان با کاربرد آنزیم فلاورزیم مورد آبکافت آنزیمی قرار گرفت. محصولات جهت سنجش کلاتنه کردن یون آهن فرو با FeCl<sub>2</sub> و فروزین مخلوط و بعد از د دقیقه نگهداری در دمای اتاق چذب آن در ۵۶°C تانومتر اندازه گیری شد. روش سطح پاسخ جهت بهینه‌سازی تولید ژلاتین آبکافت استفاده شد.

عوامل متغیر این آزمایش عبارت بودند از زمان (دقیقه)، دما (C) و نسبت آنزیم به سوپسیtra (درصد)، درصد کلاتنه کردن یون آهن فرو نیز به عنوان پاسخ در نظر گرفته شد. نتایج تجزیه واریانس معنی‌داری مدل، دما و نسبت آنزیم به سوپسیtra (۰/۰۵) و عدم معنی‌داری زمان (۰/۰۵) را نشان داد.

ژلاتین آبکافت پوست گربه ماهی درصد کلاتنه کردن یون آهن فرو خوبی در رنج ۲۰-۸۱ درصد را نشان می‌دهد. نتایج پیشنهاد می‌دهند که پیتدهای آنتی اکسیدانی حاصل از آبکافت ژلاتین پوست گربه ماهی می‌تواند به عنوان کاندید بلقوه در صنعت دارویی و نیز برای توسعه غذاهای کاربردی باشد.

**واژگان کلیدی:** آنتی اکسیدان، ژلاتین، آبکافت، سطح پاسخ

تاریخ دریافت: ۹۳/۱۰/۱۸ تاریخ پذیرش: ۹۴/۲/۱۰

## مقدمه

ژلاتین پروتئینی است که از کلاژن استخراج شده و به دلیل خواص فیزیکی و شیمیایی منحصر به فرد خود به طور گسترده در صنایع مختلف مورد استفاده قرار می‌گیرد<sup>(۱۰)</sup>.

<sup>۱</sup>. دانشیار فرآوری محصولات شیلات، گروه شیلات، دانشکده علوم دریایی، دانشگاه دریانوردی و علوم دریایی چابهار، چابهار، ایران. tahirinator@gmail.com

<sup>۲</sup>. دانشجوی کارشناسی ارشد فرآوری محصولات شیلاتی، دانشگاه دریانوردی و علوم دریایی چابهار، چابهار، ایران

<sup>۳</sup>. دانشیار گروه علوم و صنایع غذایی، دانشکده مهندسی زراعی، دانشگاه علوم کشاورزی و منابع طبیعی ساری، مازندران، ایران

عنوان کاندیدی در برابر استرس اکسیداتیو و همچنین یک ماده بالقوه در صنعت غذایی و دارویی مورد استفاده قرار گیرد (۱۵) در مطالعه‌ای که توسط Kittiphattanabawon و همکاران در سال ۲۰۱۲ صورت گرفت، فعالیت آنتیاکسیدانی ژلاتین آبکافت پوست کوسه با استفاده از آنزیم پاپایا با درجات مختلف آبکافت مورد بررسی قرار گرفت. فعالیت مهار رادیکال آزاد ABTS و هیدروکسیل، ظرفیت جذب رادیکال اکسیژن (ORAC)، قدرت آنتیاکسیدانی کاهشی آهن (FRAP) قابلیت کلاته کردن یون آهن فرو، مهار اکسیژن منفرد، ظرفیت مهار اسید هیپوکلریک (HOCl) مورد بررسی قرار گرفت.

تمام شاخص‌های فعالیت آنتیاکسیدانی با افزایش درجه آبکافت، افزایش یافت ( $P < 0.05$ ). درجه آبکافت  $10\text{--}40\%$  فعالیت مهار رادیکال آزاد DPPH حدود  $\mu\text{mol TE/g sample}$  و رادیکال آزاد ABTS حدود  $0.9\text{--}0.6 \mu\text{mol TE/g sample}$  و رادیکال هیدروکسیل  $5.69\text{--}5.76 \mu\text{mol TE/g sample}$  ظرفیت جذب رادیکال اکسیژن (ORAC) رنج  $5.23\text{--}27.0 \mu\text{mol TE/g sample}$ ، ظرفیت جذب رادیکال آزاد  $16.709\text{--}4.2 \mu\text{mol TE/g sample}$ ، فعالیت کلاته کردن یون آهن فرو ( $\text{Fe}^{2+}$ ) در حدود  $1.3/2 \mu\text{mol TE/g sample}$  اکسیژن منفرد  $13.62\text{--}7.2 \mu\text{mol TE/g sample}$  ظرفیت مهار اسید هیپوکلریک (HOCl) حدود  $15.0\text{--}17.0 \mu\text{mol TE/g sample}$  و FRAP در درجات مختلف آبکافت به ترتیب میزان  $2.29\text{--}1.30 \mu\text{mol TE/g sample}$  و  $7.18 \mu\text{mol TE/g sample}$  را نشان داد.

فعالیت کلاته کنندگی و ORAC در ژلاتین آبکافت با درجه آبکافت  $40\%$  در درجه حرارت ( $100^\circ\text{C}$ )، مدت زمان  $240$  دقیقه و در یک دامنه گسترده pH (۹-۱) ثابت باقی ماند یا اندکی افزایش را نشان داد. همچنین در شبیه‌سازی مدل سیستم مجاری گوارشی نیز همین نتایج را نشان داد. علاوه بر این، ژلاتین آبکافت با درجه آبکافت  $40\%$  در سطح  $500$  و  $1000 \text{ ppm}$  می‌تواند اکسیداسیون لیپید را در دو سیستم مدل (مدل بتاکاروتن لیتوکنات و مدل گوشت خوک پخته) مهار

کاهش یافته است؛ بنابراین موضوع شناسایی خواص آنتیاکسیدانی تولید شده از منابع طبیعی به یک موضوع مورد توجه برای صنایع و تولید غذای سالم تبدیل شده است (۴). در دهه گذشته، مطالعات گوناگونی روی خواص آنتیاکسیدانی پیتیدهای دریابی انجام شده است و بر اساس مطالعات، پروتئین و ژلاتین آبکافت حاصل از آبزیان خواص آنتیاکسیدانی خوبی نشان داده است. در مطالعه‌ای که توسط Ngo و همکاران در سال ۲۰۱۰ انجام شد یک پیتید دارای خواص ضد اکسیدانی از ژلاتین فلس نیل تیلاپیا (*Oreochromis niloticus*) جداسازی شد. ژلاتین با استفاده از آلکالاز، پروناز E، تریپسین و پیپسین آبکافت شد. اثر ضد اکسیدانی آبکافت مربوطه با استفاده از فعالیت مهار رادیکال آزاد DPPH. رادیکال هیدروکسیل و رادیکال آئیون سوپراکسید مورد بررسی قرار گرفت. علاوه بر این، اثر حفاظتی در مقابل آسیب DNA ناشی از رادیکال‌های هیدروکسیل نیز مشخص شد. نتایج نشان داد آبکافت مشتق شده از آلکالاز فعالیت ضد اکسیدانی بالاتری را در مقایسه با دیگر آبکافت آنزیمی نشان داد، همچنین مهار رادیکال هیدروکسیل کارآمدتر از رادیکال آزاد DPPH و سوپراکسید بود. میزان  $\text{IC}_{50}$  آبکافت حاصل از آلکالاز (غلظت آبکافت که قادر به مهار  $50\%$  فعالیت رادیکال آزاد است) در مهار رادیکال آزاد DPPH، هیدروکسیل و سوپراکسید به ترتیب  $263, 660$  و  $720 \mu\text{g/ml}$  گزارش شد.

توالی پیتیدهای فعال ( $1382/57 \text{ Da}$ ) در آبکافت حاصل از آلکالاز شناسایی شد. این پیتیدها هیچ اثر سیتوتوکسیک بر ماکروفازهای موش ( $RAW264/7$ ) و فیبروبلاست ریه انسان (MRC-5) نشان نداد. علاوه رادیکال‌های سوپراکسید، DPPH و هیدروکسیل را در میزان  $\text{IC}_{50} 56 \mu\text{g/ml}$  و  $8/82, 7/8/83 \mu\text{g/ml}$  به ترتیب مهار کرد. نتایج بدست آمده نشان داد که پیتیدهای مشتق شده از ژلاتین فلس نیل تیلاپیا (*O. niloticus*) می‌تواند به

و  $7/5-9$  و قابلیت کلاته کردن حدود  $\mu\text{mol EE/g sampel}$  به ترتیب بود، و عنوان کردند آبکافت زلاتین (GH) با استفاده از پروتئاز خارج سلولی باسیلوس می‌تواند به عنوان منبع بالقوه از آنتی‌اکسیدانی طبیعی عمل کنند که از اکسیداسیون در سیستم‌های مواد غذایی و بیولوژیکی جلوگیری کند (۱۷).

همانطور که از مطالعات پیشین بر می‌آید فعالیت آنتی‌اکسیدانی پروتئین‌ها و پیتیدها می‌تواند در نتیجه مهار رادیکال‌های آزاد تشکیل شده عامل اکسیداسیون، مهار ترکیبات حاوی اکسیژن یا توانایی کلاته کردن یون‌های فلزی و کاهش آنها باشد (۹).

از آنجا که تغییر شرایط آبکافت اعم از دما، زمان و نسبت آنزیم به سوبسترا می‌تواند خواص کاربردی محصول نهایی را تغییر دهد لذا دستیابی به بهترین شرایط آبکافت جهت حصول خواص آنتی‌اکسیدانی از اهمیت بالایی برخوردار می‌باشد (۲). بهینه‌سازی Response Surface Methodology(RSM) یک روش انتخابی است که به دنبال بهترین گزینه از یک مجموع مشخص از گزینه‌های دیگر، و طرح‌های تجربی مشتق شده از آمار مدرن به عنوان راهی برای دستیابی به هدف و هزینه کمتر از حد معمول می‌باشد (۳).

مرزهای گسترده جنوب ایران دارای غنای گونه‌ای فراوانی از آبزیان با توانایی تولید پیتیدهای زیست فعال می‌باشند. در آبهای دریایی مکران و سواحل چابهار گونه گربه ماهی دریایی (*A. thalassinus*) به میزان فراوانی به عنوان صید ضمنی در صیادی دریایی بدست می‌آید که استفاده خوراکی در کشور ندارد و به مصرف تهیه پودر ماهی رسیده و یا صادر می‌شود. این منبع بالقوه شیلاتی قابلیت بالایی برای تولید زلاتین آبکافت شده با خاصیت آنتی‌اکسیدانی جهت استفاده در صنایع دارویی دارد. تا کنون در کشور ایران مطالعه‌ای روی آبکافت زلاتین پوست گربه ماهی انجام نشده است لذا در این تحقیق به بررسی یافتن شرایط بهینه تولید زلاتین آبکافت پوست گربه ماهی دریایی با استفاده از روش سطح پاسخ پرداخته شده است.

کنده؛ بنابراین، زلاتین آبکافت پوست کوسه blacktip (درجه آبکافت  $40\%$ ) می‌تواند به طور بالقوه به عنوان یک منبع جایگزین ضد اکسیدان طبیعی استفاده شود (۱۱).

Zhang و همکاران در سال ۲۰۱۲ زلاتین پوست تیلاپیا (TSG) را با استفاده از آنزیم‌های پروپراز E و multifect خشی آبکافت نمودند. آبکافت با آنزیم پروپراز E بالاترین درجه آبکافت با میزان  $18/01$  و فعالیت مهار رادیکال هیدروکسیل  $62/47\%$  را در مقایسه با محصول آبکافت multifect خشی با میزان درجه آبکافت  $12/60$  و فعالیت مهار رادیکال هیدروکسیل  $52/21\%$  نشان داد.

آبکافت زلاتین پوست تیلاپیا (TSGH) حاصل از آبکافت پیش رونده (مترقی) با کاربرد multifect خشی و پروپراز E بالاترین درجه آبکافت با میزان  $22/11\%$  و فعالیت مهار رادیکال هیدروکسیل  $99/24\%$  را داشت.

فعالیت مهار رادیکال آزاد DPPH با افزایش غلظت مورد استفاده افزایش یافت، میزان  $\text{IC}_{50}$  TSGH  $3/66 \text{ mg/mL}$  و  $6/9 \text{ mg/mL}$  DPPH در مهار رادیکال آزاد سوپر اکسید  $0/56 \text{ mg/mL}$  و  $0/07 \text{ mg/mL}$  به ترتیب و در مهار رادیکال هیدروکسیل  $0/74 \text{ mg/mL}$   $\text{IC}_{50}$  گزارش شد. نتایج نشان داد که آبکافت TSG تهیه شده با استفاده از multifect خشی و پروپراز E می‌تواند به عنوان یک منبع پیتیدهای با فعالیت ضد اکسیدانی بالا خدمت کند و پتانسیل توسعه به عنوان غذاهای سلامت را دارند. مطالعه‌ای که توسط Samart و همکاران در سال ۲۰۱۴ صورت گرفت فعالیت آنتی-اکسیدانی زلاتین آبکافت پوست unicorn leatherjacket شده با پروتئاز خارج سلولی باسیلوس (GH-H11) با درجات مختلف آبکافت شدند (GH-AI) مورد مطالعه قراردادند، نتایج نشان داد فعالیت آنتی‌اکسیدانی آبکافت حاصل از هر دو پروتئاز با افزایش درجه آبکافت افزایش یافت. میزان مهار رادیکال آزاد GH-AI و GH-H11 در درجه آبکافت  $40-10\%$  حدود  $7/5-8 \mu\text{molTE/g sampel}$  قدرت کاهشی

نظر، آنریم با نسبت‌های مختلف طبق جدول شماره ۲ افزوده و نمونه‌ها به شیکر انکوباتور منتقل شد، پس از مدت زمان در نظر گرفته شده آنریم‌ها با حرارت دهی در  $90^{\circ}\text{C}$  به مدت ۱۰ دقیقه غیر فعال شدند و سپس در  $3000$  دور در دقیقه به مدت ۱۵ دقیقه سانتریفیوژ شدند. مایع رویی به عنوان ژلاتین آبکافت جمع آوری شد و جهت خشک شدن محلول ژلاتین از فریز درایر استفاده شد (۴).

#### فعالیت آنتی اکسیدانی کلاطه کردن یون آهن فرو

فعالیت کلاطه کردن یون  $\text{Fe}^{2+}$  با استفاده از روش تغییر یافته Chung و همکاران (2002) با کمی تغییرات اندازه‌گیری شد. بر این اساس نمونه رقیق شده ژلاتین ( $3/7$  میلی لیتر) با  $0/1$  میلی لیتر  $\text{FeCl}_2$  و  $0/2$  میلی لیتر فروزان مخلوط شد، مخلوط واکنش به مدت ده دقیقه در دمای اتاق نگهداری و سپس جذب آن در  $562$  نانومتر اندازه‌گیری شد، بلانک نیز به همان شیوه تهیه شد، جز آنکه به جای نمونه از آب مقطر استفاده شد، از EDTA نیز به عنوان شاهد استفاده شد (۸).

فعایت کلاطه کردن به شکل زیر محاسبه شد:

$$\frac{[(\text{B}-\text{A})/\text{B}]}{100} = \text{درصد فعالیت کلاطه کردن یون آهن فرو} \quad \text{که در آن A عدد جذب نمونه و B عدد جذب بلانک است.}$$

#### طراحی آزمایش و بهینه‌سازی

در این مطالعه از طرح آماری روش سطح پاسخ (RSM) برای بهینه‌سازی شرایط آبکافت استفاده گردید. اثر متغیرهای مستقل شامل A (دما به درجه سانتی گراد)، B (زمان به دقیقه) و C (نسبت آنریم به سوبسترا به درصد) در  $3$  سطح مورد ارزیابی قرار گرفت که در جدول ۱ نشان داده شده است. در این پژوهش از طرح مرکزی با  $20$  آزمایش که شامل  $8$  نقطه فاکتوریل،  $6$  نقطه محوری و  $6$  تکرار نقطه مرکزی (برای تخمین خطای آزمایش) به منظور بررسی تاثیر شرایط آبکافت و بهینه‌سازی فرایند مذکور استفاده شد. متغیر مستقل (پاسخ) درصد کلاطه کردن آهن بود که نتایج آن در جدول ۲ نشان داده شده است. تصاویر سه بعدی جهت بررسی روند تغییرات رسم

#### مواد و روش کار

ماهی تازه از ایستگاه‌های صیادی چابهار تهیه شد و در بخش به آزمایشگاه زیست فناوری دانشگاه دریانوری و علوم دریایی چابهار منتقل شد، نمونه‌ها در دمای  $20^{\circ}\text{C}$ -تا زمان استفاده نگهداری شدند. هیدروکسید سدیم ( $2-1310$ ) اسید سولفوریک ( $9-93-7664$ )، اسید سیتریک ( $251275$ )، الکل اتیلیک ( $34852$ )، فروزنین ( $9-45-69898$ ) و آنریم فلاوروزیم ( $2-232-752$ ) از شرکت سیگما تهیه گردید.

#### استخراج ژلاتین

پوست ماهی جدا شده و به قطعات  $1\times 1$  سانتی‌متر برش زده شد و با آب تمیز شستشو شد، سپس پوست به ترتیب با هیدروکسید سدیم ( $W/V$ ٪)، اسید سولفوریک و اسید سیتریک ( $W/V$ ٪) تمیار شد. در تمامی تیمارها محلول اسید و باز هر چهل دقیقه تعویض شد و این سیکل سه بار با مجموع مدت زمان  $2$  ساعت برای هر تیمار تکرار شد، بعد از هر تیمار پوست‌ها جهت رسیدن به pH طبیعی با آب مقطر شسته شدند. نسبت پوست به محلولهای اسید یا باز  $1:7$  ( $W/V$ ٪) بود. پوست در مرحله بعد با الکل اتیلیک  $76\%$  تمیار شد و نسبت پوست به الکل  $1:7$  در نظر گرفته شد. در تمامی مراحل از شیکر انکوباتور (مدل KM55) استفاده گردید. در نهایت پوست‌ها با آب مقطر شسته شدند، استخراج نهایی در  $3$  حجم آب مقطر در دمای  $45^{\circ}\text{C}$  به مدت  $12$  ساعت در شیکر انکوباتور انجام شد، عصاره به دست آمده با کاغذ فیلتر واتمن (شماره یک) با استفاده از قیف بوخرز فیلتر شد و جهت خشک شدن محلول ژلاتین از فریز درایر (JFD2L) به مدت  $20$  ساعت استفاده شد (۱۲). ژلاتین خشک شده در دمای  $22^{\circ}\text{C}$ -برای مطالعات بعدی نگهداری شد.

#### آبکافت آنریمی

ژلاتین حاصل از پوست توسط آنریم فلاوروزیم و در شرایط مختلف و کنترل شده (دما، غلظت آنریم، زمان) مورد آبکافت قرار گرفت.  $100$  میلی‌گرم ژلاتین در  $10\text{CC}$  آب مقطر حل شد، پس از رسیدن دمای محلول ژلاتین به دمای مورد

با کاربرد آنالیز رگرسیون، شاخص‌های اندازه‌گیری شده در قالب یک چند جمله‌ای درجه دوم بر طبق معادله ۱ مدل‌سازی شدند.

ضرایب مدل چندجمله‌ای به صورت Y میزان کردن کلاته  $\beta_0$  (عبارت ثابت)،  $\beta_1$ ،  $\beta_2$  (اثرات خطی)،  $\beta_{11}$ ،  $\beta_{22}$  (اثرات درجه دوم) و  $\beta_{12}$ ،  $\beta_{13}$ ،  $\beta_{23}$  (اثرات متقابل) بیان شده‌اند.  
(معادله ۱)

$$Y = \beta_0 + \beta_1 X_1 + \beta_2 X_2 + \beta_3 X_3 + \beta_{11} X_1^2 + \beta_{22} X_2^2 + \beta_{33} X_3^2 + \beta_{12} X_1 X_2 + \beta_{13} X_1 X_3 + \beta_{23} X_2 X_3$$

## نتایج

### نتایج طراحی آزمایش و تجزیه و تحلیل آماری

بر اساس نتایج تجزیه واریانس که در جدول (۳) نشان داده شده است، مدل در سطح احتمال ۹۹/۹۹٪ معنی‌دار است.

نتایج خطی اختلاف معنی‌داری دما (۰/۰۰۰۱) و نسبت آنریم به سوبسترا (۰/۰۰۵۷) و عدم وجود اختلاف معنی‌داری زمان (۰/۳۰۶۲) را نشان داد. در مورد دما این معنی‌داری بیشتر بود. نتایج درجه دوم نیز اختلاف معنی‌داری در هر سه متغیر مستقل نشان داد که در مورد دما و نسبت آنریم به سوبسترا بیشتر از زمان مشهود معنی‌دار بود. سطح نتایج اثر متقابل نیز فقط در مورد اثر متقابل دما و زمان (۰/۰۰۲۹) اختلاف معنی‌دار نشان داد و در بقیه اثرات اختلاف معنی‌داری نسبت به هم نشان نداد ( $p > 0/05$ ).

از رگرسیون برای تعیین یک مدل سطح پاسخ بر اساس برآیند پاسخ‌های خطی و درجه دو و اثر متقابل متغیرهای مستقل استفاده شد.

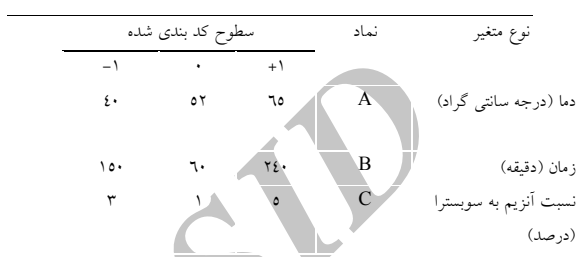
مدل رگرسیونی برای تخمین میزان فعالیت کلاته کردن برای مقادیر واقعی و کد شده در فرمول ۲ و ۳ آمده است.

فرمول (۲): مدل رگرسیونی برای مقادیر کد شده

$$\begin{aligned} &+ ۶۲/۸۳ + ۹/۵۰ X_1 + ۱/۲۰ X_2 + ۳/۹۰ X_3 - ۱۹/۸۲ X_1^2 \\ &+ ۸/۷۸ X_2^2 - ۱۴/۸۲ X_3^2 - ۴/۸۷ X_1 X_2 - ۰/۶۲ X_1 X_3 + ۰/۸۸ X_2 X_3 \end{aligned}$$

شدند. از نرم افزار Design Expert 7.00 جهت تجزیه و تحلیل اطلاعات و رسم نمودارهای مربوط به روش سطح پاسخ استفاده گردید.

جدول ۱: سطوح متغیرهای فرایند آبکافت آنریمی زلاتین پوست گربه ماهی



جدول ۲: درصد کلاته کردن یون  $Fe^{2+}$  در شرایط مختلف آبکافت بر اساس نتایج RSM

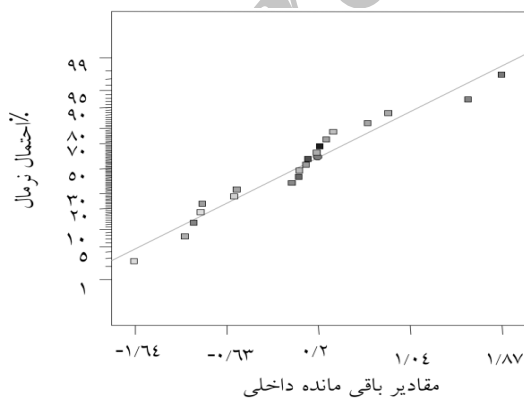
٪ $Fe^{2+}$	زمان (دقیقه)	نسبت آنریم به سوبسترا (%)	دما (درجه سانتی گراد)
کلاته	سوبسترا (%)	زمان (دقیقه)	دما (درجه سانتی گراد)
۲۸	۱	۲۴۰	۴۰
۵۰	۳	۱۵۰	۶۵
۲۵	۵	۶۰	۴۰
۶۰	۳	۱۵۰	۰۲/۵
۷۳	۳	۲۴۰	۰۲/۵
۶۵	۳	۱۵۰	۰۲/۵
۴۹	۱	۶۰	۶۵
۳۸	۵	۲۴۰	۴۰
۵۲	۵	۱۵۰	۰۲/۵
۵۸	۳	۱۵۰	۰۲/۵
۴۷	۵	۲۴۰	۶۵
۴۲	۱	۱۵۰	۰۲/۵
۶۹	۳	۱۵۰	۰۲/۵
۳۴	۳	۱۵۰	۴۰
۱۸	۱	۶۰	۴۰
۶۸	۳	۱۵۰	۰۲/۵
۶۱	۳	۱۵۰	۰۲/۵
۵۳	۵	۶۰	۶۵
۶۸	۳	۶۰	۰۲/۵
۳۹	۱	۲۴۰	۶۵

جدول ۳: جدول آنالیز واریانس درجه آبکافت تحت تأثیر متغیرهای مستقل در طول آزمایش بهینه‌سازی

منبع	مجموع مربعات	درجه آزادی	میانگین مربعات	F	p Prob > F
مدل	۴۶۶۴/۷۲	۹	۵۱۸/۳۰	۴۱/۸۵	<۰/۰۰۰۱
(دما) (A)	۹۰۲/۵۰	۱	۹۰۲/۵۰	۷۲/۸۸	<۰/۰۰۰۱
(زمان) (B)	۱۴/۴۰	۱	۱۴/۴۰	۱/۱۶	۰/۳۰۶۲
(آنژیم به سویسترا) (C)	۱۵۲/۱۰	۱	۱۵۲/۱۰	۱۲/۲۸	۰/۰۰۵۷
AB	۱۹۰/۱۲	۱	۱۹۰/۱۲	۱۰/۳۵	۰/۰۰۲۹
AC	۳/۱۳	۱	۳/۱۳	۰/۲۵	۰/۶۲۶۳
BC	۷/۱۳	۱	۷/۱۳	۰/۴۹۷۹	۰/۴۹۷۹
$A^2$	۱۰۸۰/۰۹	۱	۱۰۸۰/۰۹	۸۷/۲۲	<۰/۰۰۰۱
$B^2$	۲۰۷/۲۸	۱	۲۰۷/۲۸	۱۶/۷۴	۰/۰۰۲۲
$C^2$	۶۰۳/۸۴	۱	۶۰۳/۸۴	۴۸/۷۶	<۰/۰۰۰۱
باقي مانده	۱۲۳/۸۳	۱۰	۱۲۳/۸۳	۱۲/۳۸	
فقدان تناسب	۲۲/۳۳	۵	۲۲/۳۳	۰/۲۲	۰/۹۳۸۹
خطای خالص	۱۰۱/۵۰	۵	۱۰۱/۵۰	۲۰/۳۰	
تصحیح کلی	۴۷۸۸/۵۵	۱۹	۴۷۸۸/۵۵		

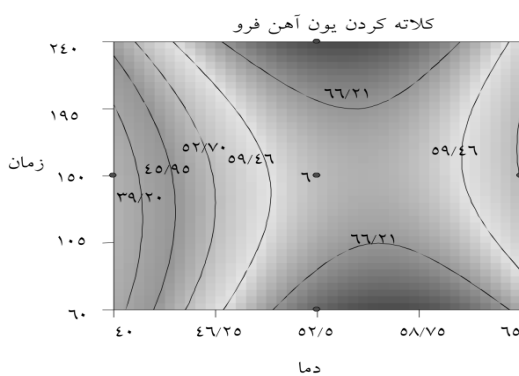
فرمول (۲): مدل رگرسیونی برای مقادیر حقیقی

$$\begin{aligned} -379/61520 + 14/80282X_1 - 0/095299X_2 + 24/76061X_3 - 0/12684X_1^2 \\ + 1/07183X_2^2 - 3/70455X_3^2 - 4/33333X_1X_2 - 0/025000X_1X_3 + 4/86111X_2X_3 \end{aligned}$$



نگاره ۱: توزیع احتمال نرمال داده‌ها ژلاتین آبکافت پوست گربه ماهی

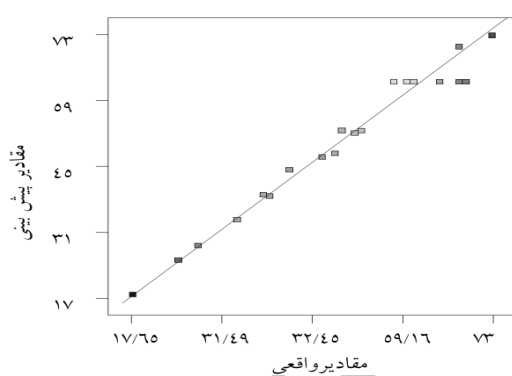
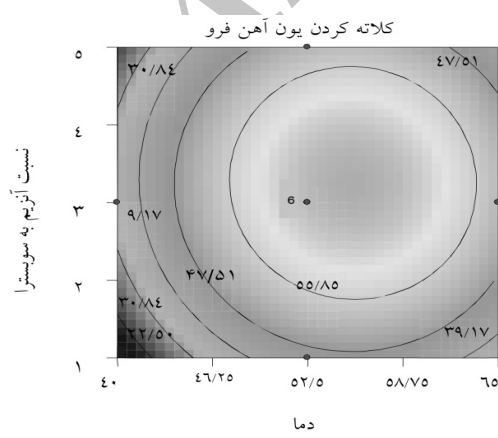
نمودارهای توزیع احتمال نرمال داده‌ها و مقایسه نتایج تخمین مدل و نتایج واقعی توزیع احتمال نرمال داده‌ها و مقایسه نتایج حاصل از تخمین مدل و نتایج واقعی نیز در نگاره ۱ و ۲ آورده شده است. پراکنش مقادیر باقی مانده که تفاوت بین میزان عددی پیش‌بینی و مقدار تجربی را نشان می‌دهد خط مستقیمی را تشکیل می‌دهد و مقادیر باقی مانده به شکل نرمال در دو سمت خط پراکنده‌اند. این نمودار نشان دهنده برازش معقول نقطه مورد آزمایش با مقدار پیش‌بینی شده توسط مدل است.



نگاره ۳ و ۴: منحنی سطح پاسخ و تراز اثر دما و زمان بر درصد کلاته کردن ژلاتین آبکافت پوست گربه ماهی

### رابطه دما و نسبت آنزیم به سوبسترا بر درصد کلاته کردن یون آهن فرو

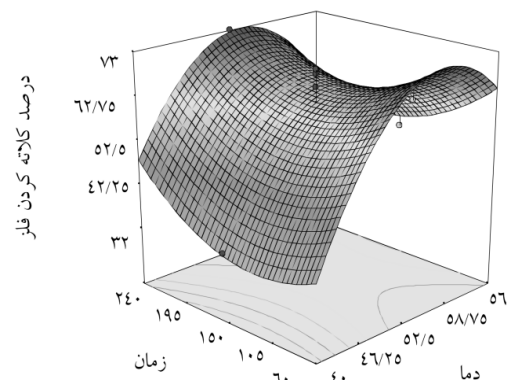
در نگاره ۵ و ۶ تاثیر میزان مصرف آنزیم و دما در مدت زمان ثابت ۱۵۰ دقیقه مشاهده می‌شود. با افزایش دما به ویژه در درصدهای پایین‌تر نسبت آنزیم به سوبسترا درصد کلاته کردن افزایش میابد به ویژه تا دمای  $58^{\circ}\text{C}$  و در نسبت آنزیم به سوبسترا ۳ درصد که در ماکریم مقدار است؛ و بعد از این دما، این درصد کاهش می‌یابد. نسبت آنزیم به سوبسترا نیز تا میزان ۳ درصد با افزایش درصد کلاته کردن همراه است اما در صدهای بالاتر روند کاهشی در درصد کلاته کردن به همراه دارد.

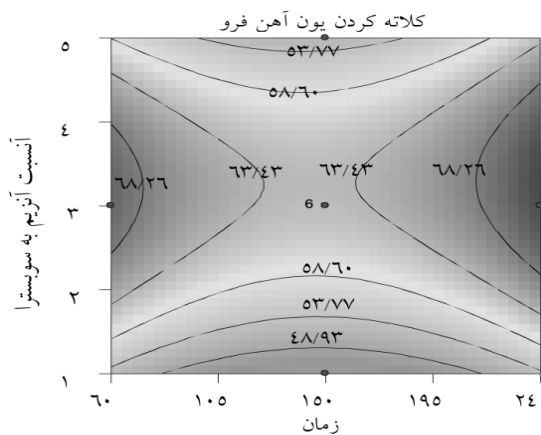


نگاره ۲: مقایسه مقدار پیش بینی مدل در برابر مقدار تجربی ژلاتین آبکافت پوست گربه ماهی

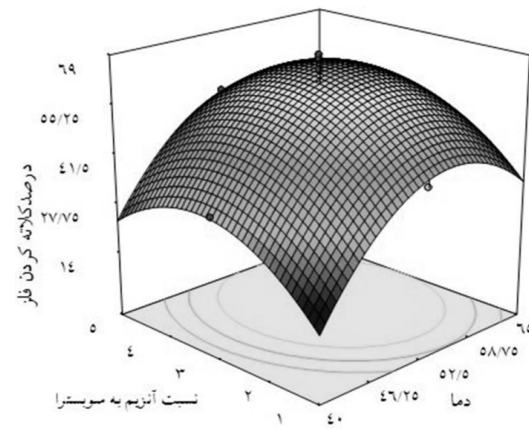
در نگاره ۲ مقایسه مقدار پیش بینی برای قدرت کلاته کردن ژلاتین آبکافت پوست گربه ماهی دریایی (*A. thalassinus*) با مقدادر پیش بینی شده تطابق نزدیک این اعداد را نشان می‌دهد.

رابطه دما و زمان بر درصد کلاته کردن یون آهن فرو طبق نگاره ۳ و ۴ با ثابت در نظر گرفتن نسبت آنزیم به سوبسترا در میزان ۳ درصد، با افزایش دما میزان کلاته کردن فلزات نیز افزایش می‌یابد، به ویژه تا دمای  $58^{\circ}\text{C}$  که در ماکریم مقدار است. افزایش زمان تا حدود ۱۵۰ دقیقه تاثیر محسوسی بر درصد کلاته کردن ندارد اما با افزایش زمان تا ۲۴۰ دقیقه این درصد دارای روند افزایشی است و در ۲۴۰ دقیقه در حداقل مقدار است. با افزایش دما در هر مدت زمانی درصد کلاته کردن بصورت درجه دو افزایش می‌یابد و ماکریم آن در دمای حدود  $58^{\circ}\text{C}$  و در حداقل میزان زمان (۲۴۰ دقیقه) اتفاق می‌افتد و بعد از این دما، با افزایش زمان درصد کلاته کردن افت می‌کند.





نگاره ۵ و ۶: منحنی سطح پاسخ و تراز اثر زمان و نسبت آنژیم به سوبسترا بر درصد کلاته کردن ژلاتین آبکافت پوست گربه ماهی



نگاره ۵ و ۶: منحنی سطح پاسخ و تراز اثر دما و نسبت آنژیم به سوبسترا بر درصد کلاته کردن ژلاتین آبکافت پوست گربه ماهی

### بحث

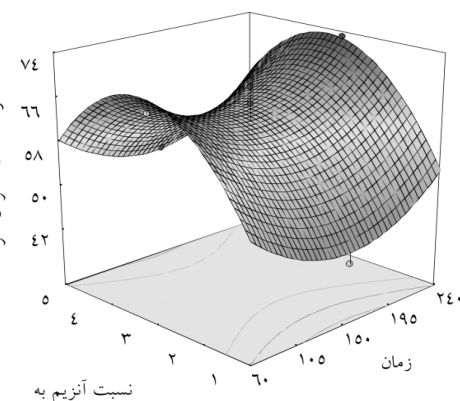
در این تحقیق ژلاتین پوست گربه ماهی (*A. thalassinus*) تحت شرایط مختلف دما، زمان و نسبت آنژیم به سوبسترا مورد آبکافت قرار گرفت، ژلاتین های آبکافت جهت سنجش فعالیت آنتی اکسیدانی تحت آزمون کلاته کردن یون آهن فرو قرار گرفتهند. روش سطح پاسخ به شکل موقفیت آمیزی برای بهینه سازی پارامترهای تاثیرگذار بر روند آبکافت ژلاتین مورد استفاده قرار گرفت. ضریب تعیین کلی (R-Squared)، نشان دهنده توصیف بسیار خوب مدل رگرسونی از واکنش می باشد یعنی مدل توانایی خوبی برای برآش داده ها داشته است. هرچه مقدار  $R^2$  به ۱ نزدیکتر باشد مدل بهتر پاسخ را پیش بینی می کند (۱۳).

برای قابل قبول بودن مدل از نظر آماری  $R^2$  تعدیل شده داری بالاترین مقدار باشند. مدلی مناسب است که مقادیر  $R^2$  تعدیل شده و  $R^2$  پیش بینی شده (Predicted  $R^2$ ) باید ریالتی بالاترین مقدار باشند. مدلی مناسب است که مقادیر  $R^2$  تعدیل شده و  $R^2$  پیش بینی شده آن کمتر از ۰/۲ از هم اختلاف داشته باشد (۱۴ و ۱۵).

که در تحقیق حاضر میزان  $R^2$  تعدیل شده برابر ۰/۹۵۰۹ و  $R^2$  پیش بینی شده برابر ۰/۹۴۳۱ دارای مقدار بالا و میزان اختلاف بسیار کم بین آنها مشاهده شد. نسبت سیگنال به اختلال

### رابطه زمان و نسبت آنژیم به سوبسترا

در دمای ثابت ۵۲/۵°C افزایش زمان تا ۱۵۰ دقیقه به ویژه در غلظت های پایین آنژیم باعث کاهش درصد کلاته کردن و بعد از این مدت زمان روند افزایشی مشاهده می شود و بیشترین میزان در زمان ۲۴۰ دقیقه مشاهده می شود. نسبت بالای آنژیم به سوبسترا بخصوص در زمان های طولانی با کاهش شدید درصد کلاته کردن همراه است، بیشینه آن در زمان ۲۴۰ دقیقه و نسبت آنژیم به سوبسترا ۳ درصد و کمینه مقدار آن در زمان ۱۵۰ دقیقه و نسبت آنژیم به سوبسترا ۵ درصد میباشد. افزایش نسبت آنژیم به سوبسترا نیز تا میزان ۳ درصد با افزایش درصد کلاته کردن همراه است اما درصد های بالاتر روند کاهشی در درصد کلاته کردن به همراه دارد (نگاره ۷ و ۸).



شد نیز افزایش دما و زمان سبب کاهش درصد آنتی‌اکسیدانی شد (۲). با توجه به نگاره اثر متقابل دما و نسبت آنزیم به سوبسترا، در دما و غلظت بالای آنزیم درصد کلاته کردن کاهش می‌یابد که این مساله می‌تواند به دلیل ناپایداری آنزیم در دمای بالا و همچنین افزایش سرعت دناتوره شدن آنزیم در دماهای بالا باشد (۱). همچنین این نمودار نشان می‌دهد که نسبت آنزیم به سوبسترا و دما یک حد بهینه برای تولید پیتیدهایی با خاصیت آنتی‌اکسیدانی دارند. نتایج مشابه‌ای در مطالعه Fang و همکاران در سال ۲۰۱۲ بر پروتئین آبکافت ماهیچه اسکوئید با استفاده از آنزیم پاپائین گزارش شد که افزایش غلظت آنزیم در محدوده ۱/۷۴-۱/۱٪ سبب افزایش فعالیت مهار رادیکال آزاد DPPH شد اما افزایش بیشتر از ۲-۱/۷۴٪ سبب کاهش فعالیت مهار گردید همچنین دما در رنج ۵۱-۴۵ درجه‌سانتی‌گراد سبب افزایش فعالیت مهار رادیکال آزاد شد اما دماهای بالاتر از این رنج سبب کاهش فعالیت مهاری شد (۷). در مطالعه طاهری و همکاران بر آبکافت ضایعات سر مرغ نیز نسبت آنزیم به سوبسترا و دما در یک رنج خاصی سبب افزایش درجه آبکافت می‌شود و افزایش دما سبب کاهش درجه آبکافت شد (۱).

در رابطه زمان و نسبت آنزیم به سوبسترا از آنجا که آنزیم با سوبسترا تشکیل یک کمپلکس استوکیومتری می‌دهد و تنها این ترکیب می‌تواند به محصول شکسته شود، بنابراین با افزایش غلظت آنزیم، سوبسترا اشبع شده و سبب پیشرفت فعالیت آنزیم می‌شود؛ اما ممکن است با گذشت زمان پایداری آنزیم کم شود و واکنش از قانون ترمودینامیک پیروی نکند و تجمع محصول به حدی برسد که خاصیت بازدارندگی داشته باشد. این مسئله می‌تواند دلیل کاهش شدید درصد کلاته یون آهن فرو در نسبت بالای آنزیم به سوبسترا در زمان‌های طولانی در رابطه زمان و نسبت آنزیم به سوبسترا باشد. در مطالعه طاهری و همکاران (۱۳۹۱) که بر آبکافت ضایعات سر مرغ انجام شد نشان داد که افزایش میزان آنزیم مصرفی از حد ۰/۱۱ واحد

(signal to noise ratio) باید در مدل‌های سطح پاسخ بالاتر از ۴ باشد (۵) این مقدار برای درجه آبکافت مدل ۲۲/۱۲۸ بود که این نسبت نشان دهنده یک سیگنال مطلوب و کارایی مدل است. فقدان تناسب، خطای باقیمانده را نسبت به خطای محض بررسی می‌کند. فقدان تناسب (Lack of Fit) در مدل‌ها معنی‌دار نبود ( $P > 0.05$ ) و این نشان دهنده برخورداری مدل از تناسب خوب است.

مقایسه مقادیر تجربی برای قدرت کلاته کردن ژلاتین آبکافت پوست گربه ماهی دریایی با مقادیر پیش‌بینی پلات سطح نسبتاً قابل قبولی را ارائه می‌دهد که این امر نشان دهنده همبستگی بسیار خوب بین نتایج بدست آمده با روش تجربی و مقادیر پیش‌بینی شده با روش آماری است. منحنی سطح پاسخ و تراز اثر دما و زمان بر درصد کلاته کردن نشان می‌دهد در ابتدای روند آبکافت تولید پیتیدهایی که قابلیت کردن عوامل حساس کننده اکسیداسیون مثل یون‌های فلزی را دارا می‌باشند شروع می‌شود اما با ادامه روند آبکافت احتمالاً با تعییر در ساختار این پروتئین‌ها و پیتیدها این خاصیت کاهش می‌یابد و در ادامه با افزایش زمان و کوچکتر شدن طول زنجیره‌های پیتیدهای با قابلیت حذف یون‌های فلزی مجدد این خاصیت افزایش می‌یابد و این روند در یک رنج بهینه دمایی بیشینه است.

بر خلاف بسیاری از مطالعات دیگر که افزایش دما و زمان آبکافت سبب افزایش فعالیت آنتی‌اکسیدانی می‌شود، در مطالعه حاضر افزایش دما بخصوص در زمان‌های طولانی سبب کاهش فعالیت آنتی‌اکسیدانی شد، این مسئله نشان دهنده وجود یک دامنه دمایی بهینه برای عملکرد مطلوب آنزیم فلاورزیم است. در مطالعه Fang و همکاران که بر پروتئین آبکافت ماهیچه اسکوئید انجام شد نیز افزایش دما و زمان آبکافت سبب افزایش مهار رادیکال آزاد و سپس سبب کاهش آن شد (۶).

در مطالعه‌ای که توسط طاهری و همکاران در سال ۹۱ در تولید پروتئین آبکافت ساردين پهلوطلايی با آنزیم آکالاز انجام

آنتی اکسیدانی جدا شده و به عنوان منابع طبیعی برای کترول استرس اکسیداتیو در نظر گرفته شدن، برخی از مطالعات جهت تائید فعالیت زیستی پیتیدهای کالاژن و ژلاتین در انسان انجام شده است و برخی از داده‌های متعاقده کننده برای مدل‌های حیوانی به دست آمده است که از آن جمله می‌توان به موارد زیر اشاره کرد:

نتایج حاصل از یک مطالعه نشان داد که پیتید جدا شده از ژلاتین پوست hoki قادر به افزایش بیان آنزیم‌های آنتی اکسیدانی مانند گلوتاتیون پراکسیداز، کاتالاز و سوپراکسید دیسموتاز در سلولهای تومور کبدی انسان بودند (۱۴). مطالعات صورت گرفته توسط Yang و همکاران در سال ۲۰۰۹ بر ژلاتین آبکافت پوست تیلاپیا نیز ظرفیت آنتی اکسیدانی را به وسیله مهار قابل توجه رادیکال آزاد و پراکسیداسیون لبید نشان داد و گزارش شد که پیتیدهای آنتی اکسیدانی مشتق شده پتانسیل آنتی اکسیدان طبیعی را دارا است (۱۸). نتایج حاصل از مطالعه Ngoa و همکاران در سال ۲۰۱۰ بر روی ژلاتین فلس نیل تیلاپیا آبکافت آنکلاز بیشترین فعالیت آنتی اکسیدانی را دارد بعلاوه این پیتیدها هیچ اثر سیتو توکسیکی در ماکرو فاژهای موش (RAW 264.7) و فیربولاست روده انسان (MRC-5) نشان نداد.

بعلاوه مهار رادیکال هیدروکسیل، DPPH و رادیکال سوپراکسید میزان IC<sub>50</sub> ۷/۵۶، ۷/۸۲ و ۸/۸۳ و IM ۱۷/۸۳ را به ترتیب نشان داد و عنوان شد که پیتیدهای آنتی اکسیدانی مشتق شده از ژلاتین فلس نیل تیلاپیا (*O. niloticus*) به عنوان کاندید در برابر استرس اکسیداتیو عمل می‌کند و نیز می‌تواند به عنوان یک ماده بالقوه کاربردی در صنعت غذایی و دارویی مفید باشد (۱۵).

نتایج مطالعه‌ای Kittiphattanabawon نشان داد فعالیت آنتی اکسیدانی ژلاتین آبکافت پوست کوسه blacktip با استفاده از آنزیم لاتکس پاپایا در درجه آبکافت -۴۰٪ فعالیت مهار رادیکال آزاد DPPH، ABTS و هیدروکسیل و رادیکال هیدروکسیل، ظرفیت جذب رادیکال اکسیژن

آنسوون بر گرم نمی‌تواند به تولید پروتئین با حداقل درجه آبکافت منجر شود، همچنین مطالعه انجام شده روی پروتئین آبکافت ضایعات خرچنگ دراز آب شیرین با آنزیم اپتیماز نشان داد که درصد درجه آبکافت با کاهش غلظت آنزیم به ۴۵٪ افزایش می‌یابد. در تحقیقی دیگر نیز تولید پروتئین آبکافت سر مرغ با استفاده از آنزیم نوتراز نشان داد که با کاهش غلظت آنزیم، آبکافت افزایش می‌یابد (۱).

فاکتورهای متعددی از جمله: شرایط استخراج پروتئین، درجه آبکافت، نوع آنزیم پروتئازی می‌توانند بر فعالیت آنتی اکسیدانی پیتیدهای زیست فعل تأثیر بگذارد (۷). آنزیم مورد استفاده در این مطالعه توانسته در دامنه دمایی و زمانی محلود پیتیدهایی با خواص آنتی اکسیدانی بالا تولید کند. تمامی فاکتورهای بررسی شده تأثیر دما، زمان و نسبت آنزیم به سوبسترا را بر فرآیند آبکافت و در نتیجه بر میزان کلاهه کردن یون آهن فرو نشان می‌دهد. از میان شرایط تأثیر گذار بر فرایند آبکافت دما و نسبت آنزیم به سوبسترا تأثیر بیشتر و زمان نسبت به دو فاکتور دیگر به میزان کمتر تأثیر داشته است. تمام نتایج نشان دهنده تفسیر ریاضی قابل قبول از روند کلاهه کردن است؛ و بیان کننده این هستند که مدل حاصل توانایی خوبی برای پیش‌بینی میزان کلاهه کردن تحت شرایط آزمایش دارد.

شرایط بهینه بدست آمده برای آبکافت ژلاتین که بیشترین فعالیت کلاهه کردن را به دنبال دارد دمای ۵۶/۷۳°C، نسبت آنزیم به سوبسترا ۶۰/۰۷٪ و زمان ۰/۳۲۵ دقیقه با میزان کلاهه کردن آهن ۱۱۷/۷۳٪ بود که این مدل پیش‌بینی شده بسیار نزدیک به مدل تجربی بود.

همانطور که قبل ذکر شد، رادیکال‌های آزاد در آغاز و یا پیشرفت بیماری تحلیل برنده در گیر هستند (۸) بنابراین، با توجه به رابطه نزدیک بین استرس اکسیداتیو و بیماری‌ها، به نظر می‌رسد کترول استرس اکسیداتیو یکی از مراحل بسیار مهم در کند کردن پیشرفت این بیماری‌ها و یا جلوگیری از عوارض ناشی از آن‌ها باشد. در این راستا، تعداد زیادی از پیتیدهای

آنتی‌اکسیدان، سیستم بیولوژیک و غذایی را از خطر اکسیداسیون و یون‌های فلزی حفظ کند و به عنوان کاندید بالقوه در صنعت دارویی و نیز برای توسعه غذاهای کاربردی (با پتانسیل آنتی‌اکسیدانی) یا محصولات غذا دارو (Nutraceutical) در برابر فلزات و بیماری‌های مربوطه باشد.

اگرچه شواهد زیادی فعالیت آنتی‌اکسیدانی پیتیدهای زیست فعال را در شرایط آزمایشگاهی تائید کرده است، اما در نظر گرفتن رابطه بین خواص آنتی‌اکسیدان آزمایشگاهی و خواص آنتی‌اکسیدان درون بدن پیتیدها زمانی که آن‌ها مورد تغییر و تجزیه در روده، سیستم عروقی و کبد قرار می‌گیرند مهم است. بنابراین تحقیقات زیادی مورد نیاز است تا اثربخشی و ایمنی ژلاتین آبکافت را در بدن انسان جهت توصیه غذایی و دارویی ثابت کند.

از مزایای بهینه سازی یافتن بهترین شرایط تیمار برای دستیابی به حداکثر پاسخ یا پاسخ بهینه است. از نتایج این تحقیق می‌توان بصورت تکرار پذیر جهت تولید مجدد ژلاتین آبکافت پوست گربه ماهی جهت مطالعات پیش کلینیکی و سپس مطالعات کلینیکی استفاده نمود. تحقیق روی ژلاتین آبکافت در دنیا همچنان ادامه دارد و هنوز به مرحله صنعتی نرسیده است.

## تشکر و سپاسگزاری

نویسنده‌گان از دانشگاه دریانورده و علوم دریایی چابهار جهت فراهم آوردن امکانات این تحقیق در قالب پایان نامه کارشناسی ارشد خانم وحیده مختارزاد تشکر و قدردانی می‌نمایند.

## فهرست منابع

- ۱- طاهری، ع.، عابدیان کناری، ع.، معتمدزادگان، ع.، حبیبی رضایی، م. (۱۳۹۱): بهینه سازی آبکافت آنزیمی ضایعات حاصل از کشتار مرغ. فصل نامه‌ی علوم و صنایع غذایی. ۶۵، ۷۶: ۹۳۴

(ORAC)، فعالیت کلاته کردن یون آهن فرو ( $\text{Fe}^{2+}$ ، مهار اکسیژن منفرد، ظرفیت مهار اسید هیپوکلریک (HOCl) و FRAP خوبی در درجات مختلف آبکافت را نشان داد و عنوان شد ژلاتین آبکافت پوست کوسه blacktip (درجه آبکافت٪ ۴۰) می‌تواند به طور بالقوه به عنوان یک منبع جایگزین آنتی‌اکسیدان طبیعی استفاده شود (۱۱).

نتایج مطالعه Zhang و همکاران در سال ۲۰۱۲ بر روی آبکافت ژلاتین پوست تیلاپیا (TSG) با استفاده از آنزیم‌های پروپراز E و multifect خشی نشان داد. آبکافت با آنزیم پروپراز E بالاترین درجه آبکافت و فعالیت مهار رادیکال هیدروکسیل را در مقایسه با محصول آبکافت multifect خشی را دارد.

آبکافت ژلاتین پوست تیلاپیا (TSGH) حاصل از آبکافت پیش رونده (مترقی) با کاربرد multifect خشی و پروپراز E بالاترین درجه آبکافت و فعالیت مهار رادیکال هیدروکسیل را در مقایسه با دیگر آبکافت‌های دو آنزیمی داشت. نتایج نشان داد که آبکافت TSG تهیه شده با استفاده از multifect خشی و پروپراز E می‌تواند به عنوان یک منبع پیتیدهای با فعالیت ضدآکسیدانی بالا خدمت کند و پتانسیل توسعه به عنوان غذاهای سلامت را دارند (۱۹). نتایج مطالعه Samart و همکاران که در سال ۲۰۱۴ صورت گرفت فعالیت آنتی‌اکسیدانی ژلاتین آبکافت پوست باسیلوس (GH-H11) و آکالاز (GH-Al) در درجه آبکافت ۴۰-۴۰٪ میزان مهار رادیکال آزاد GH-Al و GH-H11 خوبی را نشان داد و عنوان کردند آبکافت ژلاتین (GH) با استفاده از پروتئاز خارج سلولی باسیلوس می‌تواند به عنوان منبع بالقوه از آنتی‌اکسیدانی طبیعی عمل کند که از اکسیداسیون در سیستم‌های مواد غذایی و بیولوژیکی جلوگیری کند (۱۷).

در مطالعه حاضر ژلاتین آبکافت پوست گربه ماهی (*A. thalassimus*) درصد کلاته کردن یون آهن فرو خوبی را نشان می‌دهد این نتایج پیشنهاد می‌دهند که پیتیدهای حاصل از آبکافت ژلاتین پوست گربه ماهی می‌توانند به عنوان

- 11- Kittiphattanabawon, P., Benjakul, S., Visessanguan, W., Shahidi, F. (2012): Gelatin hydrolysate from blacktip shark skin prepared using papaya latex enzyme: Antioxidant activity and its potential in model systems. *Food Chemistry.* 135(3): 1118-1126.
- 12- Koli, J.M., Basu, S., Nayak, B., Patange, S., Pagarkar, A., Gudipati, V. (2012): Functional characteristics of gelatin extracted from skin and bone of Tiger-toothed croaker (*Otolithes ruber*) and Pink perch (*Nemipterus japonicus*). food bioproduct. process. 90(3): 555-562.
- 13- Liu, H.L., Chiou, Y.R. (2005): Optimal decolorization efficiency of Reactive Red 239 by UV/TiO<sub>2</sub> photocatalytic process coupled with response surface methodology. *Chem. Eng. j.* 112(1-3):173-179.
- 14- Mendis, E., Rajapakse, N., Kim, S.K. (2005): Antioxidant properties of a radicals scavenging peptide purified from enzymatically prepared fish skin gelatin hydrolysate. *J. Agric. Food Chem.* 53(3):581-587.
- 15- Ngo, D.H., Qian, Z.J., Ryu, B., Park, J.W., Kim, S.K. (2010): In vitro antioxidant activity of a peptide isolated from Nile tilapia (*Oreochromis niloticus*) scale gelatin in free radical-mediated oxidative systems. *j. Functional food.* 2(2):107-117.
- 16- Phanturat, P., Soottawat, B., Visessanguan, W., Roytrakul, S. (2010): Use of pyloric caeca extract from bigeye snapper (*Priacanthus macracanthus*) for the production of gelatin hydrolysate with antioxidative activity. *Food Science and Technology.*43: 86-97.
- 17- Samart, S. U., Soottawat, B., Punnanee, S., Hideki, K. (2014): Antioxidant activity of gelatin hydrolysate produced from fish skin gelatin using extracellular protease from *bacillus amyloliquefaciens* H11. *Journal of Food Processing and Preservation.*
- 18- Yang, J.L., Liang, W.S., Chow, C.J., Siebert, K.J. (2009): Process for the production of tilapia retorted skin gelatin hydrolysates with optimized antioxidative properties. *Process Biochem.* 44(10):1152-1157.
- 19- Zhang, Y., Duan, X., Zhuang, Y. (2012): Purification and characterization of novel antioxidant peptides from enzymatic hydrolysates of tilapia (*Oreochromis niloticus*) skin gelatin. *Peptides.* 38(1): 13-21.
- 2- طاهری، ع.، عبدالیان کناری، ع.، معتمدزادگان، ع.، حبیبی رضایی، م. (۱۳۹۱): بهینه سازی فعالیت آنتی اکسیدانی پروتئین آبکافت سارдин پهلوطلایی (*Sardinella gibossa*) با استفاده از روش سطح پاسخ. *نشریه پژوهش‌های علوم و صنایع غذایی.* ۲۷۰-۲۶۲ :۳)
- 3- Arteaga, G.E., Li-Chan, E., Vazquez-Arteaga, M.C., Nakai, S. (1994): Systematic experimental designs for product formula optimization. *Food Sci. Technol.* 5(8):43-54.
- 4- Alemán, A., Giménez, B., Montero, P., Gómez-Guillén, M. (2011): Antioxidant activity of several marine skin gelatins. *Food Sci. Technol.* 44(2):407-413.
- 5- Canettieri, E.V., Rocha, G.J., Carvalho, J.A., Silva, J.B. (2007): Optimization of acid hydrolysis from the hemicellulosic fraction of *Eucalyptus grandis* residue using response surface methodology. *Bioresource Technol.* 98(2):422-428.
- 6- Fang, X., Xie, N., Chen, X., Yu, H., Chen, J. (2012) : Optimization of antioxidant hydrolysate production from flying squid muscle protein using response surface methodology. *food and bioproducts processing.* 90(4): 676-682.
- 7- Gibbs, B.F., Zougman, A., Masse, R., Mulligan, C. (2004): Production and characterization of bioactive peptides from soy hydrolysate and soy-fermented food. *Food Res. Int.* 37(2):123-131.
- 8- Giménez, B., Gómez-Guillén, M., López-Caballero, M., Montero, M. (2011): Functional and bioactive properties of collagen and gelatin from alternative source: A review. *Food Hydrocolloid.* 25(8):1813-1827.
- 9- Gutierrez, M.E., Garcia, A.F., Madariaga, M.A.D, Sagrista, M.L., Casado, F.J., Mora, M. (2003): Interaction of tocopherols and phenolic compounds with membrane lipid components. Evaluation of their antioxidant activity in a liposomal model system. *Life Sci.* 72(21): 2337-2360.
- 10- Jamilah, B., harvinder, K.G. (2011): Properties of gelatins from skins of fish Black tilapia (*Oreochromis mossambicus*) and red tilapia (*Oreochromis nilotica*). *Food Chem.* 77(1):81-84.